ОДНОВИТКОВЫЕ ИНДУКТИВНОСТИ НА МАГНИТНЫХ ПЛЕНКАХ И МЕТОДИКА ИХ ИЗМЕРЕНИЯ

к. А. НАРИНЯН

Исследованы одновитковые напыленные индуктивности на тонких магнитных пленках. Приводится методика расчета и измерения индуктивности посредством куметра на высоких частотах. Полученные результаты действительны только для малых сигналов.

Введение

В некоторых областях высокочастотной радиотехники, например, в системах частотной модуляции, параметрических системах и т. д., необходимы управляемые реактивные элементы—емкости и индуктивности. В определенных условиях имеет смысл использовать в качестве последних тонкие магнитные пленки [1, 2].

Индуктивность элемента на магнитной пленке зависит от ее геометрических размеров, магнитной проницаемости в направлении остаточной намагниченности, количества напыленных или намотанных витков, от амплитуды и частоты тока. Последнее обстоятельство, очевидно, ограничивает частотный предел технического применения магнитных пленок. Проницаемость магнитных пленок меняется с частотой. Одновременное увеличение потерь может привести к снижению или потере управляемых свойств пленки. Поэтому очень важно знать частотные свойства пленочных индуктивностей на частотах более низких, чем собственная частота ферромагнитного резонанса магнитных пленок (500—600 Мгц). Мостовые методы измерений на столь высоких частотах трудно осуществимы по ряду технических причин.

Для измерения индуктивности пленочных компонент мы использовали куметр системы Tesla BM-409 с диапазоном 16—300 Mig. На указанных частотах точность измерений ограничивается междувитковой емкостью обмотки. Поэтому исследовались только одновитковые индуктивности. Добавим, что одновитковое исполнение также наиболее приемлемо по технологии. Как будет показано ниже, значения индуктивностей образцов не превышают нескольких наногенри. Поэтому в работе уделено внимание вопросу сведения погрешностей измерения к минимальным значениям.

Индуктивность одновиткового влемента

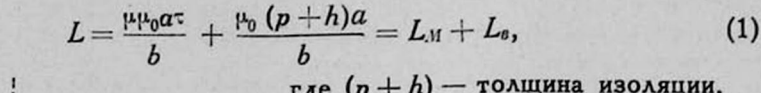
На рис. 1, а и б приведены два типа индуктивностей:

а) медная полоска напылена непосредственно вокруг тонкой магнитной пленки Fe Ni 17/830/0, с применением изоляции из моноокиси кремния между магнитной пленкой и полоской;

4 Известия АН АрмССР, Физика, № 1

б) виток охватывает стеклянную подложку, что облегчает технологию изготовления. Соответствующие размеры приведены на рис. 1а, 16 и в табл. 1.

Пользуясь [3], можно вывести приближенную формулу для индуктивности



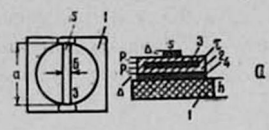




Рис. 1. Напыленная пленочная индуктивность: а) обмотка напылена вокруг магнитной пленки (плотный охват), 6) обмотка напылена с охватом подложки (неплотный охват). 1— стеклянная подложка размерами $18 \times 18 \times 0.2$ мм, 2— изоляция из моноокиси кремния P=2 мк, 3— магнитная пленка, 4— медный подслой $\Delta=1$ мк, 5— шина индуктивности $\Delta=1$ мк.

где (p+h) — толщина изоляции, au — толщина магнитной пленки,

μ — относительная магнитная проницаемость,

 μ_0 — магнитная постоянная, равная $4\pi \cdot 10^{-9} \, \imath \, h/c \, m$, b и a—геометрические размеры образца, приведенные на рис. 1.

Формула (1) будет тем более точной, чем больше отношения $\frac{a}{h+p}$ и $\frac{a}{\mu^{\text{T}}}$. Для данных рис. 1 при $\mu=2000$ эти отношения составляют 20-30.

Таблица 1*

| образ- | Способ изгот. | р+h жк | ь | L nin | | Lв нін | | Lм нін | | ,, | 7 | a |
|--------------|---------------|-----------|-----|-------|-----|--------|-----|--------|-----|-----|------|-----|
| Ne Ne gob | | | | P | И | P | И | P | И | Hk | Å | СЖ |
| 25—1 | рис. 1а | 3 | 300 | 5 | 5 | _ | - | 4,9 | 4,8 | 4,0 | 2700 | 0,6 |
| 25-3 | рис. 1а | 3 | 300 | 4,2 | 4,3 | _ | - | 4,1 | 4,2 | 4,5 | 2700 | 0,6 |
| 1736 | рис. 16 | 210 | 500 | 11,5 | 8 | 3,3 | 4,8 | 8,2 | 3,2 | 3,3 | 2700 | 0,6 |
| 3 | рис. 16 | 210 | 500 | 11.9 | 8,6 | 3,0 | 5,2 | 8.9 | 3,4 | 3,3 | 3000 | 0,6 |

^{*} Р — расчетные данные,

И — данные измерений.

Магнитные параметры измерялись аппаратурой, описанной [8].

При пользовании формулой (1) μ вычислялось из соотношения $\mu = \frac{4\pi M}{H_k}$ где $4\pi M = 8000$ гаусс.

Индуктивность состоит из 2 частей: L_3 — доля индуктивности от потока через воздух—"воздушная индуктивность", L_M — доля индуктивности от потока через магнитную пленку — "индуктивность магнитной пленки".

Если подставить в (1) соответствующие размеры и параметры, то можно убедиться, что $L^{_M}$ одного порядка с $L_{^g}$, когда виток неплот-

но охватывает пленку (рис. 16), а в случае плотного охвата (рис. 1а)- $L_{e} \ll L_{M}$.

Принимая L_0 не зависящей от частоты при очень тонкой шине (порядка 1-2 мк), определим, как меняется $L_{\rm M}$ в зависимости от по-

ложения вектора намагниченности и далее, при сохранении первого условия, от частоты. В выражении (1) переменной величиной является µ, поэтому естественно рассмотреть изменение и от указанных факторов [2].

На рис. 2 показано расположение пленочного элемента относительно осей координат, поле смещения H_0 и переменное поле $H_* \ll H_k^*$. На основе работы [2] легко показать, что статическая и динамическая дифференциальные магнитные ницаемости пленки выразятся уравнениями

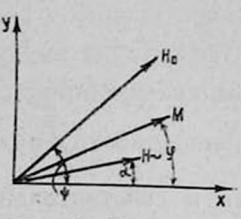


Рис. 2. Векторная диаграмма для условия равновесия вектора намагниченности М.

$$\mu = \frac{4\pi M}{H_k} \cdot \frac{\sin^2(\varphi - \alpha)}{\cos 2\varphi + h \cos(\psi - \varphi)}, \qquad (2)$$

$$\mu = \frac{4\pi M}{H_k} \cdot \frac{\sin^2(\varphi - \alpha)}{\cos 2\varphi + h\cos(\psi - \varphi)}, \qquad (2)$$

$$\mu(j\omega) = \frac{4\pi M}{H_k} \cdot \frac{\sin^2(\varphi - \alpha)}{-\frac{\omega^2}{4\pi\gamma^2 MH_k} + \frac{e}{v}j\omega \frac{\alpha_0}{\gamma H_k} + \cos 2\varphi + h\cos(\psi - |\varphi|)}, \qquad (3)$$

где α_0 — коэффициент затухания для магнитных пленок, равный 0,1-0,01, гиромагнитный коэффициент,

$$h = \frac{H_0}{H_k}$$

Как известно, собственная частота ферромагнитного магнитных пленок определяется выражением [4]

$$\omega_0 = \gamma \left[4\pi M H_k \right]^{\frac{1}{2}}.$$

Исходя из этого, выражение (3) можно видоизменить так:

$$\mu(i\omega) = \frac{4\pi M}{H_k} \frac{\sin^2(\varphi - \alpha)}{\frac{\omega^2}{\omega_0^2} + j \frac{\omega}{\omega_0^2} 4\pi\alpha_0 \gamma M + \cos 2\varphi + h \cos (\psi - \varphi)}.$$
 (3a)

В частном случае, когда постоянное поле H_0 =0 и φ =0, возможно определить два вида проницаемости: в одном случае Н приложено перпендикулярно оси анизотропии, $\alpha = 90^\circ$, а во втором — параллельно сси анизотропии, $\alpha = 0$. Для последнего случая $\mu_{11} = 1$, а при $\alpha = 90^{\circ}$

$$\mu_{T} = \frac{4\pi M}{H_{k}} = \mu_{T}(0),$$

$$\mu_{T}(i\omega) = \frac{\mu_{T}(0)}{1 - \frac{\omega^{2}}{\omega_{0}^{2}} + j\frac{\omega}{\omega_{0}^{2}} 4\pi z_{0} \gamma M}.$$

^{*} Н . — после анизотропии.

Соответственно статическая и динамическая индуктивности выразятся так:

$$L(0) = L_{s} + A\mu_{T}(0)$$

$$L(j\omega) = L_{s} + A \frac{\mu(0)}{1 - \frac{\omega^{2}}{\omega_{0}^{2}} + j\frac{\omega}{\omega_{0}^{2}} 4\pi\alpha_{0}\tilde{\Lambda}M}$$
(4)

Для анализа процессов на высоких частотах введем нормализованную проницаемость трудного направления $\frac{\mu_T(j\omega)}{\mu_T(0)}$ и разложим ее на мнимую и действительную части

$$\frac{\frac{\mu_{T}(j\omega)}{\mu_{T}(0)}}{\left[1 - \frac{\omega^{2}}{\omega_{0}^{2}}\right]^{2} + \left[\frac{\omega}{\omega_{0}^{2}} 4\pi\alpha_{0}\gamma M\right]^{2}} = \frac{\dot{\mu_{T}}}{\mu_{r}(0)} - j\frac{\mu_{r}}{\mu_{T}(0)}.$$

 μ_T' — мнимая часть проницаемости или проницаемость потерь, μ_T' — действительная часть проницаемости, определяющая индуктивность.

На рис. 3 приведены вычисленные на ЭЦВМ теоретические кривые зависимости

$$\frac{\mu_T^{'}}{\mu_T(0)} = f\left(\frac{\omega}{2\pi}\right)$$
 и $\frac{\mu_T^{'}}{\mu_T(0)} = \phi\left(\frac{\omega}{2\pi}\right)$

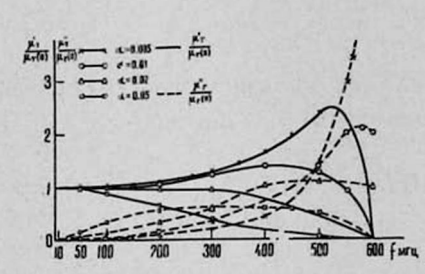


Рис. 3. Теоретические кривые изменения нормализованной проницаемости от частоты.

для различных α_0 и для типичного случая, когда $\omega_0 = 600~Mig$. Как видно из кривых, индуктивность (проницаемость) растет или уменьшается в зависимости от изменений α_0 в пределах $0,01 \div 0,02$. Одновременно с ростом индуктивности увеличиваются потери, поэтому можно утверждать, что рабочий диапазон радиотехнических систем на магнитных пленках, не исполь-

зующих явление ферромагнитного резонанса, в лучщем случае достигает 350 Миц.

Возможности куметра TESLA

Исходя из того, что измеряемые индуктивности малы, необходимо при измерениях учесть паразитные параметры куметра и установить, какие минимальные изменения индуктивности можно измерить с заданной точностью.

На рис. 4 приведена эквивалентная схема измерительного контура куметра, где

 $L_0 = 2,9 \cdot 10^{-9}$ $\imath н$ — индуктивность внутренней части измерительного контура,

 $C_{\rm H} = C - {
m e}$ мкость измерительного конденсатора куметра, $L_{\rm S} = 2, 2 \cdot 10^{-9} \; \imath \varkappa - {
m u}$ ндуктивность зажимов $C_{\rm X}$,

 $L_c = 0,4 \cdot 10^{-9}$ гн — индуктивность измерительного конденсатора,

 R_0 =3,6·10 $^{-6}\sqrt{f}$ ом — последовательное сопротивление внутренней части измерительного контура куметра,

 $R_{\rm Л}$ — затухание, вносимое детектором.

Влияние двух последних параметров проявляется обычно при измерении больших добротностей, поэтому их можно не учитывать.

Рассмотрим влияние L_0 , L_s и L_c на измерения [5]. Индуктивность L_0 увеличивает кажущуюся индуктивность

$$L' = \frac{1}{\omega^2 C}, \qquad (5a)$$

где « — циклическая частота измерения.

Истинное значение измеренной индуктивности будет меньше на величину L_0 :

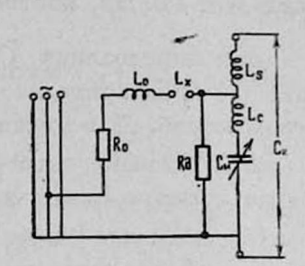


Рис. 4. Эквивалентная схема измерительного контура куметра.

$$L = \frac{1}{\omega^2 C} - L_0. \tag{56}$$

Измеряемый элемент обычно присоединяется к измерительным клеммам L_x куметра короткими проводами (2—3 мм), но и в этом случае индуктивность этих проводов соизмерима с индуктивностью измеряемого образца. Поэтому индуктивность выводов образца надо учесть в L_0 . С этой целью и для предотвращения различных ошибок к измерительным клеммам прибора присоединяется специальная колодка с двумя короткими посеребренными металлическими шинами, к которым припаивается измерительный элемент. Закорачивая эти шины, можно измерить значение паразитной индуктивности L_0 .

Индуктивность L_c увеличивает эквивалентную емкость измерительного конденсатора. Прежде чем учесть влияние L_c , заметим, что для увеличения низкочастотных пределов измерения иногда приходится добавлять добавочную емкость к измерительному конденсатору куметра, которая подключается к клеммам C_x прибора. Для указанного случая емкость измерительного контура будет иметь эквивалентную схему (рис. 5),

где $L_{\partial s}$ — индуктивность выводов дополнительного конденсатора плюс L_{s} ,

 C_{∂} — емкость дополнительного конденсатора, C_{∂} — общая емкость измерительного контура.

Составив выражение для проводимости двух реактивных параллельно соединенных сопротивлений [6]

$$-j\omega C_s = rac{1}{j\left(\omega L_c - rac{1}{\omega C_{
m M}}
ight)} + rac{1}{j\left(\omega L_{\partial s} - rac{1}{\omega C_{\partial}}
ight)}$$
 ,

найдем

$$C_{s} = \frac{C_{u}}{1 - \omega^{2} L_{c} C_{u}} + \frac{C_{s}}{1 - \omega^{2} I_{\partial s} C_{s}} = C'_{s} + C'_{s} \cdot \tag{6}$$

Максимальное значение емкости измерительного конденсатора куметра составляет 110 $n\phi$, поэтому, например, на частоте 120 Mig $C_s=113$ $n\phi$.

Для определения C_{ϑ} необходимо знать индуктивность $L_{\partial c}$. Значение C_{θ} предварительно уточняется на низкочастотном мосте. Для добавочной емкости не более 90 $n\phi$ C_s можно непосредственно определить на C_s C_s CПо известным значениям C_s и C_s можно вычислить Los. Далее строятся кривые зависимости

Рис. 5. Эквивалентная схема конденсатора измерительного контура: 1-1 клеммы Сл куметра.

$$C_{\vartheta}' = \varphi(\omega), C_{\vartheta}' = \varphi(\omega)$$

(здесь не приводятся), которые используются при измерениях. Заметим, что во избежание ошибок необходимо принять меры, чтобы добавочный кон-

денсатор при каждом измерении подключался к клеммам C_x в одинаковом положении.

Для исследования частотной зависимости пленок необходимо определить только индуктивность, вносимую магнитной пленкой L_{M} . Для этого необходимо произвести два измерения. В одном случае определяется полная индуктивность элемента L, а во втором-воздушная индуктивность L_s . Величина L_M равна разности

$$L_M = L - L_s. (7_1)$$

Для определения L_s достаточно поднести к элементу постоянный магнит. В этом случае вектор намагниченности М пленки будет заторможен в сильном поле и $\mu=1$. Нетрудно показать, что L_{M} можно числить непосредственно из показаний куметра

$$L_{M} = \frac{1}{\omega^{2}} \cdot \frac{C_{s2} - C_{s1}}{C_{s2} \cdot C_{s1}} = \frac{1}{\omega^{2}} \cdot \frac{\Delta C}{C_{s1} \cdot C_{s2}}, \tag{8}$$

где C_{s1} и C_{s2} — эквивалентные измерительные емкости контура при $\mu\gg 1$ и $\mu=1$ соответственно, и тогда учитывать L_0 нет необходимости.

Рассмотрим вопрос о погрешностях измерений, а также поставим задачу, какие минимальные относительные изменения индуктивности можно измерить на куметре Tesla с относительной погрешностью, не превышающей допустимую.

Допустимые относительные погрешности шкал емкости и частоты у куметра Tesla составляют 1%. Из выражения (5a) вероятная относительная погрешность в определении L составит

$$rac{\delta L}{L} = \sqrt{\left(\, 2 \, rac{\delta \omega}{\omega} \,
ight)^2 + \left(rac{\delta C}{C}
ight)^2} \! pprox \! 2,\! 2^0 \! /_0.$$

Изменение индуктивности элемента при воздействии постоянным магнитом на величину ΔL вызывает изменение резонансной емкости контура на величину ΔC . Для резонансного контура куметра после изменения индуктивности справедливо уравнение

$$L + \Delta L = \frac{1}{\omega^2 \left(C_{s1} + \Delta C \right)} \,. \tag{9}$$

Вычитая выражение (5а) из выражения (9) и считая $C_s = C$, получим

$$\Delta L = \frac{1}{\omega^2} \cdot \frac{\Delta C}{C} \cdot \frac{1}{C - \Delta C} \approx \frac{1}{\omega^2} \frac{\Delta C}{C^2},$$

так как $\Delta C \ll C$ из-за малой величины изменения емкости измерительного контура. Тогда относительная погрешность измерения ΔL будет равна

$$\delta \frac{(\Delta L)}{\Delta L} = \left\{ \left[\frac{\delta (\Delta C)}{\Delta C} \right]^2 + \left[2 \frac{\delta \omega}{\omega} \right]^2 + \left[2 \frac{\delta C}{C} \right]^2 \right\}^{\frac{1}{2}}.$$
 (10)

Из уравнения (9)

$$\Delta C = \Delta L C^2 \frac{\omega^2}{1 + \frac{\Delta L}{L}} = \frac{\Delta L}{L} \cdot \frac{C}{1 + \frac{\Delta L}{L}}.$$
 (11)

Далее, умножим и разделим первое слагаемое под радикалом в выражении (10) на $\left(\frac{\Delta L}{L}\right)^2$, подставив в него значение ΔC из уравнения

(11). Решая полученное выражение относительно $\frac{\Delta L}{L}$, получим

$$\left[\frac{\Delta L}{L}\right]_{\min} = \left\{ \frac{\left[\frac{\delta (\Delta C)}{C}\right]^{2}}{\left[\frac{\delta (\Delta L)}{\Delta L}\right]_{\text{gon}}^{2} - \left[2\frac{\delta \omega}{\omega}\right]^{2} - \left[2\frac{\delta G}{C}\right]^{2}}\right\}^{\frac{1}{2}}.$$
 (12)

При подключении добавочного конденсатора C_{∂} емкость измерительного контура $C_{\mathcal{S}}$ растет. Поэтому погрешность при определении ΔC должна уменьшаться. Однако при значительном увеличении $G_{\mathcal{S}}$ кривая u_{c} ($C_{\mathcal{S}}$) становится более пологой и увеличивается предельное минимальное значение изменения емкости, которое требуется для заметного перемещения стрелки указателя добротности куметра. Поэтому слишком увеличивать $C_{\mathcal{S}}$ не следует. Погрешность $\frac{\delta \Delta G}{\Delta C}$ была опреде-

лена экспериментально. Из многократных измерений ΔC при $C_s=300$ $\pi\phi$ было найдено среднее арифметическое ΔC_0 . При добротности измерительного контура Q>30

$$\frac{\delta(\Delta C)}{\Delta C} = \frac{\Delta C \max - \Delta C_0}{\Delta C_0} \approx 10^{-2},$$

где ΔC_{max} максимальное отклонение ΔC от среднего значения ΔC_0 . Так как при измерении малых значений индуктивности частота постоянна, то второй член в знаменателе выражения (12) можно отбросить. Неточность установки частоты имеет значение только при измерении абсолютного значения индуктивности. Величина $2\frac{\Delta C}{C}$ составляет $2^0/_0$. С учетом изложенного была получена расчетная формула для определения минимального отношения $\left[\frac{\Delta L}{L}\right]_{\text{min}}$ при заданной допустимой погрешности в определении ΔL :

$$\left[\frac{\Delta L}{L}\right]_{\min} \approx \frac{10^{-2}}{\left\{\left[\frac{\delta (\Delta L)}{\Delta L}\right]_{\text{app}} - 4 \cdot 10^{-4}\right\}^{\frac{1}{2}}}$$
(13)

Экспериментальные результаты и их обсуждение

В табл. 1 приведены геометрические размеры и магнитные параметры образцов. Во всех случаях оси обмоток совпадают с осью трудного намагничивания пленки. В той же таблице приведены расчитанные по выражению (1) индуктивности и данные измерений на частоте 40 Мгц. Для системы с плотным охватом (рис. 1а) расчетные и экспериментальные данные хорошо согласуются между собой. Видно, что воздушная индуктивность изчезающе мала, как и следовало ожидать. Вторая пара образцов изготовлена намоткой одного витка тонкой медной ленты вокруг стеклянной подложки с пленкой. Воздушная индуктивность здесь соизмерима с индуктивностью пленки, а расхождение между экспериментальными и расчетными данными очевидно объясняется неточностью выражения (1).

Кривые зависимости $\mu_T' = \phi\left(\frac{\omega}{2\pi}\right)$ для группы образцов приведе-

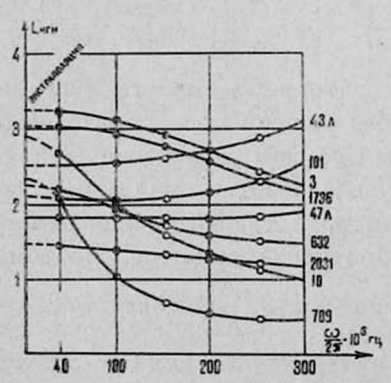


Рис 6. Кривые зависимости индуктивности изделий от часто-

ны на рис. 6. Для сравнения в табл. 2 приводятся некоторые магнитные параметры образцов. Низкочастотный предел измерений составляет 40 Мгу. Кривые экстраполированы к нулевой частоте. Если сравнить их с теоретическими (рис. 3), то обнаруживается качественное сходство.

По характеру зависимости μ_T от частоты пленки можно разделить на четыре основные группы.

Группа A характеризуется затуханием α , меньшим критического. У пленок этой группы μ_T растет с ростом часто-

ты благодаря резонансу в поле анизотропии H_k . Как видно из табли-

цы, у пленок группы А очень незначительная угловая дисперсия ани-

Табилуа 2*

| No.No | Группа | H _c 3 | H _k | Hc/Hk | Толщ." | β _{e0} | а см |
|-------|--------|------------------|----------------|-------|--------|-----------------|------|
| 43λ | A | 1,8 | 4,2 | 0,43 | 1670 | 1,1° | 1 |
| 101 | A | | | - | 1500 | 1,3° | 1 |
| 47A | Б | 3,1 | 3,7 | 0,84 | 1900 | 1,7° | 1 |
| 2031 | Б | _ | _ | - | 2200 | 2,5° | 0.6 |
| 1736 | В | 2,3 | 3,3 | 0,70 | 2700 | 6° | 0,6 |
| 3 | В | 2,2 | 3,3 | 0,67 | 3000 | 6,5° | 0,6 |
| 10 | Г | 2,7 | 3,0 | 0,90 | 2500 | 10° | 0,6 |
| 709 | г | T THE | _ | | 4000 | <20° | 0,6 |

^{*} β_{90} — угол дисперсии анизотропии. H_{c} — коэрцитивная сила смещения.

сительно медленно. Угловая дисперсия здесь очень велика, особенно у пленок группы Γ .

Имеется промежуточная группа E, где μ'_T почти постоянна на всех частотах, то есть пленки этой группы имеют критический параметр затухания.

Выводы

- 1. Куметр Tesla BM-409 при соответствующем приспособлении можно использовать для измерения некоторых радиочасотных параметров магнитных пленок и индуктивностей, изготовленных из этих пленок.
- 2. Индуктивность одновиткового элемента на магнитной пленке в напыленном исполнении при диаметре пленки 10 мм и толщине 2000 Å достигает 5 млн.
- 3. Резонанс в поле анизотропии H_k возможен только для пленок с дисперсией не более $1,4-2^\circ$.

ЛИТЕРАТУРА

- 1. A. Pohm, A. Read, R. M. Stewart, J. of Applied Physics, Suppl, vol. 31, No 5, 1960.
- 2. K. Saban, Zeitschrift für Angewandte Physik, 13, 420 (1961).
- 3. Б. Я. Жуховицкий, И. Б. Негневицкий, ТОЭ, ч. II, М., "Энергия", 1965.
- 4. D. O. Smith, J. of Applied Physics, v. 29, № 3, pp. 264-273, 1958.
- 5. Г. А. Ремез. Курс основных раднотехнических измерений, М., "Связь", 1966.
- 6. К. М. Поливанов, ТОЭ, ч, 1, М., "Энергия", 1965.
- 7. К. А. Наринян, Вопросы радиоэлектроники, сер. 7, вып. 3, стр. 102, 1966.

ՄԱԳՆԻՍԱԿԱՆ ԲԱՐԱԿ ԹԱՂԱՆԹՆԵՐԻ ՄԻԱԳԱԼԱՐ ԻՆԴՈՒԿՏԻՎՈՒԹՅՈՒՆԸ ԵՎ ՆՐԱ ՉԱՓՄԱՆ ՄԵԹՈԴԻԿԱՆ

4. Ա. ՆԱՐԻՆՑԱՆ

Տրված է մազնիսական բարակ ԹաղանԹների միագալար ինդուկտիվության վերլուծությունը փոթր ազդանջանների առկայության դեպքում։ Տրված է նաև ինդուկտիվության հաշվարկի և չափումների մեթոդիկան Q-մետրի միչոցով։ Փորձնական արդյունքները համեմատված են տեսության հետ։

HIGH FREQUENCY ONE TURN THIN MAGNETIC FILM INDUCTANCES

K. A. NARINIAN

An analysis of the operation of the thin magnetic film inductors in the frequency region up to 300 MHz is given. The inductance and the Q-factor are determined with the help of a Q-meter. Experimental results are compared with the theoretical expectation taken for a small signal.